

# Módulo de Teoría

## Clase 11, 01-03-2022

Anamaría Font V.

Universidad Central de Venezuela

LA-CoNGA-physics

[mattermost.redclara.net@afont](mailto:mattermost.redclara.net@afont)



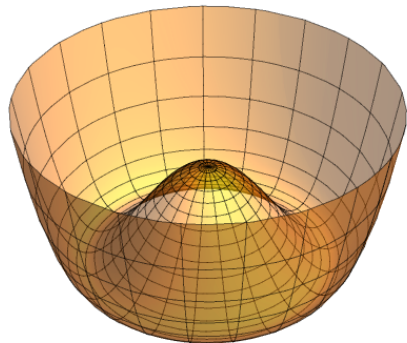
Latin American alliance for  
Capacity building in Advanced physics  
**LA-CoNGA physics**



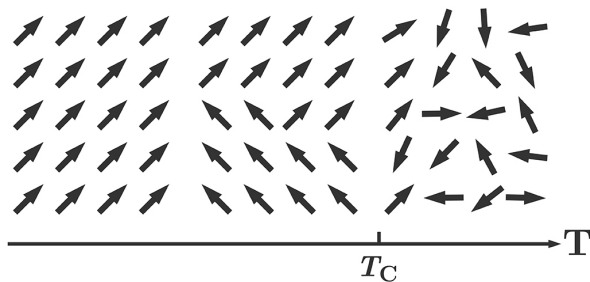
Cofinanciado por el  
programa Erasmus+  
de la Unión Europea



## Ruptura espontánea de simetría



- ▷ idea: Hamiltoniano invariante, i.e. simétrico, bajo transformación de los campos, pero el estado de mínima energía no es invariante, i.e. rompe la simetría
- ▷ ejemplo: magnetización  $\vec{M}$  en materiales ferromagnéticos  
 $H$  es invariante bajo rotaciones pero  $\langle \vec{M} \rangle \neq 0$  a temperaturas  $T < T_C$



Queremos estudiar ruptura espontánea de simetría (RES) en teoría de campos.

Consideraremos campos escalares y analizaremos tres casos:

1. simetrías discretas, e.g.  $\mathbb{Z}_2 : \phi \rightarrow -\phi$
2. simetrías continuas globales, e.g.  $\varphi \rightarrow e^{i\alpha} \varphi$
3. simetrías continuas locales, e.g.  $\varphi \rightarrow e^{i\alpha(x)} \varphi$

En general hay  $N$  campos escalares,  $\phi_i$ ,  $i = 1, \dots, N$ , con Lagrangiano y Hamiltoniano:

$$\mathcal{L} = \frac{1}{2} \sum_{i=1}^N \partial_\mu \phi_i \partial^\mu \phi_i - V(\phi_1, \dots, \phi_N), \quad \mathcal{H} = \frac{1}{2} \sum_{i=1}^N \left[ (\partial_0 \phi_i)^2 + (\vec{\nabla} \phi_i)^2 \right] + V(\phi_1, \dots, \phi_N)$$

▷ el estado de mínima energía o estado de **vacío** satisface:

- ★  $\phi_i$  constante, i.e. independiente de  $(t, \vec{x})$
- ★ mínimo de  $V(\phi_1, \dots, \phi_N)$ , i.e.  $\frac{\partial V}{\partial \phi_i} = 0$  en el vacío

## Ruptura de simetría discreta

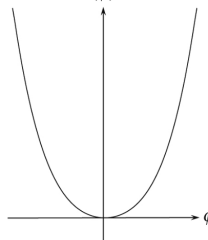
$$\mathcal{L} = \frac{1}{2}\partial_\mu\phi\partial^\mu\phi + \frac{1}{2}\mu^2\phi^2 - \frac{1}{4!}\lambda\phi^4, \quad V(\phi) = -\frac{1}{2}\mu^2\phi^2 + \frac{1}{4!}\lambda\phi^4 \quad \text{potencial}$$

★  $\mathcal{L}$  invariante bajo transformación  $\mathbb{Z}_2 : \phi \rightarrow -\phi \quad \phi' = -\phi, \mathcal{L}' = \mathcal{L}$

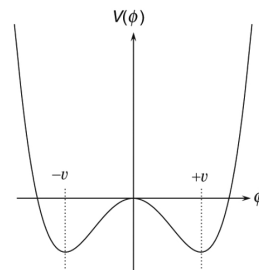
★  $\lambda > 0$ , pero puede ser  $\mu^2 < 0$  ó  $\mu^2 > 0 \quad v^2 = \frac{6}{\lambda}\mu^2$

★ extremos de  $V$ :  $\frac{dV}{d\phi} = -\mu^2\phi + \frac{\lambda}{6}\phi^3 = \frac{\lambda}{6}\phi(\phi^2 - v^2) = 0, \quad \frac{d^2V}{d\phi^2} = -\mu^2 + \frac{\lambda}{3}\phi^2 \Rightarrow \text{mín ó máx}$

$$\mu^2 < 0$$

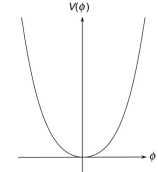


$$\mu^2 > 0$$



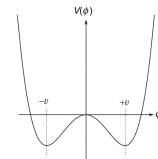
$$v = \sqrt{\frac{6}{\lambda}}\mu$$

$$\mu^2 < 0 \quad \frac{dV}{d\phi} = 0, \quad \frac{d^2 V}{d\phi^2} > 0 \Rightarrow \text{mínimo en } \phi = 0$$



- ▷ la simetría no se rompe
  - ▷  $\mathcal{L}$  describe un campo escalar real  $\phi$ , con masa  $m_\phi = -\mu^2 > 0$
- 

$$\mu^2 > 0 \quad \frac{dV}{d\phi} = 0, \quad \frac{d^2 V}{d\phi^2} > 0 \Rightarrow \text{mínimo en } \phi = \pm v, \quad v = \sqrt{\frac{6}{\lambda}} \mu$$



- ▷  $\mathcal{L}$  invariante bajo  $\phi \rightarrow -\phi \Rightarrow$  se puede escoger el mínimo en  $v$ , al hacerlo se rompe la simetría
- ▷ en el mínimo,  $\langle \phi \rangle = v = \sqrt{\frac{6}{\lambda}} \mu$

$\langle \phi \rangle \equiv \langle 0 | \phi | 0 \rangle$  : valor de expectación de vacío (vev) de  $\phi$

- para analizar la teoría en el vacío asimétrico se hace el cambio

$$\sigma(x) = \phi(x) - v \Rightarrow \langle \sigma \rangle = \langle \phi \rangle - v \Rightarrow \langle \sigma \rangle = 0$$

$\sigma(x)$  se cuantiza canónicamente en términos de ops. de creación y aniquilación

- luego se sustituye  $\phi(x) = \sigma(x) + v$ ,  $v = \sqrt{\frac{6}{\lambda}}\mu$ , en  $\mathcal{L} = \frac{1}{2}\partial_\mu\phi\partial^\mu\phi + \frac{1}{2}\mu^2\phi^2 - \frac{1}{4!}\lambda\phi^4$

$$\Rightarrow \mathcal{L} = \frac{1}{2}\partial_\mu\sigma\partial^\mu\sigma - \frac{1}{2}(2\mu^2)\sigma^2 - \frac{1}{3!}\lambda v\sigma^3 - \frac{1}{4!}\lambda\sigma^4 + \text{constante}$$

- $\mathcal{L}$  describe un campo escalar real  $\sigma$ , de masa  $m_\sigma = \sqrt{2}\mu$

- $\sigma$  tiene interacciones cúbicas y cuárticas

$$\frac{1}{3!}\lambda v\sigma^3 \Rightarrow \begin{array}{c} \diagup \\[-10pt] \nearrow \end{array} \!\!\! -i\lambda v , \quad \frac{1}{4!}\lambda\sigma^4 \Rightarrow \begin{array}{c} \diagup \diagdown \\[-10pt] \times \end{array} \!\!\! -i\lambda$$

- simetría bajo  $\phi \rightarrow -\phi$  implícita en relaciones entre los coeficientes de  $\sigma^2$ ,  $\sigma^3$  y  $\sigma^4$ ,  $\mathcal{L}$  es invariante bajo  $\sigma \rightarrow -\sigma - 2v$

## Ruptura de simetrías continuas globales

$$\mathcal{L} = \frac{1}{2} \partial_\mu \phi_1 \partial^\mu \phi_1 + \frac{1}{2} \partial^\mu \phi_2 \partial^\nu \phi_2 + \frac{1}{2} \mu^2 (\phi_1^2 + \phi_2^2) - \frac{\lambda}{4} (\phi_1^2 + \phi_2^2)^2 \quad \text{modelo O(2)}$$

invariante bajo  $\phi_i \rightarrow R_{ij} \phi_j$ ,  $R$  matriz  $2 \times 2$  ortogonal,  $R^T R = 1$

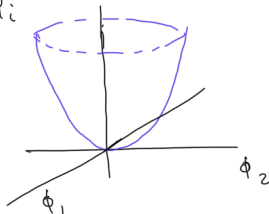
e.g.  $R = \begin{pmatrix} \cos \alpha & -\sin \alpha \\ \sin \alpha & \cos \alpha \end{pmatrix}$ , ángulo  $\alpha$  es un parámetro continuo

$$V(\phi_1, \phi_2) = -\frac{1}{2} \mu^2 (\phi_1^2 + \phi_2^2) + \frac{\lambda}{4} (\phi_1^2 + \phi_2^2)^2, \quad \frac{\partial V}{\partial \phi_i} = \phi_i (-\mu^2 + \lambda (\phi_1^2 + \phi_2^2))$$

$\mu^2 < 0$  minimo en  $\phi_1 = \phi_2 = 0$

no hay RES

$$m_1^2 = -\mu^2, \quad m_2^2 = -\mu^2$$



$$\mu^2 > 0$$

familia de mínimos  
en  $\phi_1^2 + \phi_2^2 = v^2 = \frac{\mu^2}{\lambda}$

la longitud de  $\begin{pmatrix} \phi_1 \\ \phi_2 \end{pmatrix}$  está fijada

la dirección es arbitraria. Se escoge  $\begin{pmatrix} v \\ 0 \end{pmatrix}$

$$\langle \phi_1 \rangle = v, \quad \langle \phi_2 \rangle = 0$$

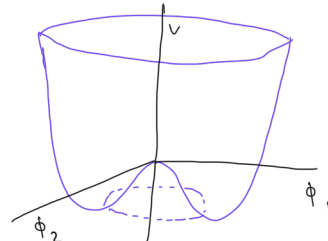
cambio de variable  $\phi_1(x) = \sigma(x) + v$ ,  $\phi_2(x) = \pi(x)$ ,  $\langle \sigma \rangle = 0$ ,  $\langle \pi \rangle = 0$

Ej.

$$\mathcal{L} = \frac{1}{2} \partial_\mu \pi \partial^\mu \pi + \frac{1}{2} \partial_\mu \sigma \partial^\mu \sigma - \frac{1}{2} (2\mu^2) \sigma^2 - \sqrt{\lambda} \mu \sigma^3 - \frac{\lambda}{4} \sigma^4 - \sqrt{\lambda} \mu \sigma \pi^2 - \frac{\lambda}{2} \pi^2 \sigma^2 - \frac{\lambda}{4} \pi^4 + \text{const.}$$

$\sigma$  campo masivo  $m_\sigma = \sqrt{2}\mu$ .

$\pi$  campo de masa nula: bosón de Goldstone



Propagadores

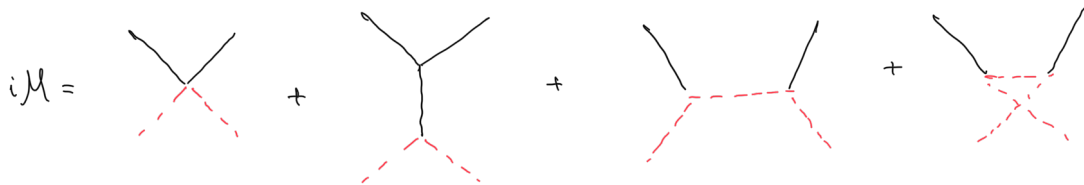
$$\sigma = \frac{k}{\frac{i}{k^2 - 2\mu^2 + i\epsilon}}$$

vértices



$$\pi = \frac{k}{\frac{i}{k^2 + i\epsilon}}$$

Ejercicio choque  $\sigma\pi \rightarrow \sigma\pi$  a nivel árbol



$M \rightarrow 0$  cuando el momento de  $\pi$ 's  $\rightarrow 0$

## Generalización modelo O(N)

$$L = \frac{1}{2} \sum_{i=1}^N \partial_\mu \phi_i \partial^\mu \phi_i + \frac{1}{2} \mu^2 (\phi_1^2 + \dots + \phi_N^2) - \frac{\lambda}{4} (\phi_1^2 + \dots + \phi_N^2)^2$$

$$\vec{\phi} = \begin{pmatrix} \phi_1 \\ \phi_2 \\ \vdots \\ \phi_N \end{pmatrix}$$

invariante bajo  $\phi_i \rightarrow R_{ij} \phi_j$ ,  $R$  matriz  $N \times N$  ortogonal  $R^T R = 1$

hay  $\frac{N(N-1)}{2}$  parámetros continuos: ángulos de rotación en los distintos  $\frac{N(N-1)}{2}$  planos

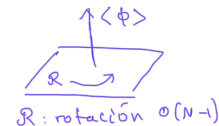
$\mu^2 < 0$  minimo simétrico en  $\phi_i = 0$   
 $L$  describe  $N$  escalares reales con  $m_i^2 = -\mu^2$

$\mu^2 > 0$  familia de mínimos en  $\phi_1^2 + \phi_2^2 + \dots + \phi_N^2 = n^2 = \frac{\mu^2}{\lambda}$  ejercicio

$$\langle \phi \rangle = \begin{pmatrix} 0 \\ 0 \\ \vdots \\ 0 \\ n \end{pmatrix}$$

$\leftrightarrow O(N)$  se rompe a  $O(N-1)$

$$R = \left( \begin{array}{c|c} R & \begin{pmatrix} 0 \\ \vdots \\ 0 \end{pmatrix} \\ \hline 0 & \dots & 1 \end{array} \right) \text{ deja } \langle \phi \rangle \text{ invariante}$$



$R$ : rotación  $O(N-1)$

$$\phi(x) = \begin{pmatrix} \pi_1(x) \\ \vdots \\ \pi_{N-1}(x) \\ \sigma(x) + v \end{pmatrix} \Rightarrow \mathcal{L} = \sum_{n=1}^{N-1} \frac{1}{2} \partial_\mu \pi_n \partial^\mu \pi_n + \frac{1}{2} \partial_\mu \sigma \partial^\mu \sigma - \frac{1}{2} (2\mu^2) \sigma^2 - \sqrt{\lambda} \mu \sigma^3 - \frac{\lambda}{4} \sigma^4 - \sqrt{\lambda} \mu \sigma (\pi_1^2 + \dots + \pi_{N-1}^2) - \frac{\lambda}{2} \sigma^2 (\pi_1^2 + \dots + \pi_{N-1}^2) - \frac{\lambda}{4} (\pi_1^2 + \pi_2^2 + \dots + \pi_{N-1}^2)^2$$

$$\sigma \text{ masivo } m_\sigma = \sqrt{2} \mu$$

$\pi_k, k=1, \dots, N-1$  masa nula  
 $(N-1)$  bosones de Goldstone

$$* \frac{\partial^2 V}{\partial \phi_i \partial \phi_j} \Big|_{\phi_1^2 + \dots + \phi_N^2 = v^2} = 2\lambda \phi_i \phi_j \quad \text{autovalores } \underbrace{0, \dots, 0}_{N-1}, 2\mu^2$$

\* # de simetrías rotas = # de bosones de Goldstone

$$\frac{N(N-1)}{2} - \frac{(N-1)(N-2)}{2} = N-1$$

$O(N) \quad O(N-1)$

## Teorema de Goldstone

Por cada simetría continua interna rota espontáneamente existe una partícula de masa nula, llamada bosón de Goldstone

demo:  $\phi_i$  campos escalares reales,  $L = \underbrace{\text{términos cinéticos}}_{\text{cinéticos}} - V(\phi_1, \dots, \phi_N)$

$L$  invariante bajo transformaciones de un grupo  $G$

$$\Phi'_i = \underbrace{\left( e^{i\alpha T^a} \right)_{ij}}_{\text{matriz}} \phi_j, \quad \alpha \text{ infinitesimal} \quad \Phi'_i = (\delta_{ij} + i\alpha T^a_{ij} + \dots) \phi_j$$

$$a = 1, \dots, \dim G, \quad T^a \text{ generador de } G$$

Ejemplos:  $G = SO(2)$

$$T = \begin{pmatrix} 0 & i \\ -i & 0 \end{pmatrix}, \quad e^{i\alpha T} = \begin{pmatrix} \cos \alpha & -\sin \alpha \\ \sin \alpha & \cos \alpha \end{pmatrix}$$

$$\dim G = 1$$

$$\left| \begin{array}{l} G = SO(3), \dim G = 3 \\ T^1 = \begin{pmatrix} 0 & 0 & 0 \\ 0 & 0 & i \\ 0 & -i & 0 \end{pmatrix} \quad e^{i\alpha T^1} = \begin{pmatrix} 1 & 0 & 0 \\ 0 & \cos \alpha & -\sin \alpha \\ 0 & \sin \alpha & \cos \alpha \end{pmatrix} \\ T^2, T^3 \text{ similares} \end{array} \right.$$

$$\text{invariancia} \Rightarrow V(\phi_i) = V(\phi_i + \delta a T_{ij}^a \phi_j) = V(\phi_i)$$

$$\text{exp. de Taylor} \Rightarrow \frac{\partial V}{\partial \phi_i} \delta a T_{ij}^a \phi_j = 0 \xrightarrow{\text{da arbitrarios}} \frac{\partial V}{\partial \phi_i} T_{ij}^a \phi_j = 0$$

$$\text{derivando respecto a } \phi_k: \frac{\partial^2 V}{\partial \phi_k \partial \phi_i} T_{ij}^a \phi_j + \frac{\partial V}{\partial \phi_i} T_{ik}^a = 0$$

evaluando en el mínimo,  $\langle \phi_i \rangle = \bar{\phi}_i$

$$(*) \quad \left. \frac{\partial^2 V}{\partial \phi_k \partial \phi_i} \right|_{\bar{\phi}_i} T_{ij}^a \bar{\phi}_j = 0 \quad \text{ya que} \quad \left. \frac{\partial V}{\partial \phi_i} \right|_{\bar{\phi}_i} = 0$$

$\underbrace{\qquad}_{\text{matriz } M_{ik} \text{ de masas}}$

$$V(\phi_i) = V(\bar{\phi}_i) + \frac{1}{2} \left. \frac{\partial^2 V}{\partial \phi_k \partial \phi_i} \right|_{\bar{\phi}_i} (\phi - \bar{\phi}_k)(\phi - \bar{\phi}_i) + \dots$$

$$M_{ki}^2 T_{ij}^a \bar{\phi}_j = 0 \quad (*)$$

$G$  se rompe a un subgrupo  $H_{nr}$       nr: no roto

para los generadores de  $H_{nr}$   $T_{ij}^a \bar{\phi}_j = 0$       (\*) trivial

para los generadores de  $G$  que no están en  $H_{nr}$ ,  $T_{ij}^a \bar{\phi}_j \neq 0$

(\*)  $\Rightarrow$  autovectores de  $M^2$  con autovalor cero

# de autovectores cero = # de bosones de Goldstone =  $\dim G - \dim H_{nr}$

ejemplo  $V = \frac{1}{2} \mu^2 (\phi_1^2 + \dots + \phi_N^2) - \frac{\lambda}{4} (\phi_1^2 + \dots + \phi_N^2)^2$

$$G = O(N), \quad H_{nr} = O(N-1)$$

## Ruptura con campo complejo

$$\mathcal{L} = \partial_\mu \varphi^* \partial^\mu \varphi + \mu^2 \varphi^* \varphi - \lambda (\varphi^* \varphi)^2$$

invariante bajo  $\varphi \rightarrow e^{i\alpha} \varphi$   $U(1)$

$$V = -\mu^2 \varphi^* \varphi + \lambda (\varphi^* \varphi)^2$$

$$\frac{\partial V}{\partial \varphi} = \varphi^* (-\mu^2 + 2\lambda \varphi^* \varphi), \quad \mu^2 > 0 \text{ minimo en } |\varphi|^2 = \frac{v^2}{2}, \quad v^2 = \frac{\mu^2}{\lambda}$$

Se escoge  $\langle \varphi \rangle = \frac{v}{\sqrt{2}}$

$$\varphi = e^{i\xi/v} \left( \frac{\eta + v}{\sqrt{2}} \right), \quad \langle \xi \rangle = 0, \quad \langle \eta \rangle = 0$$

$$\mathcal{L} = \frac{1}{2} \partial_\mu \xi \partial^\mu \xi + \frac{1}{2} \partial_\mu \eta \partial^\mu \eta - \frac{1}{2} (2\mu^2 \eta^2 - \lambda v \eta^3 - \frac{\lambda}{4} \eta^4) + \frac{\eta}{v} \left( 1 + \frac{\eta}{2v} \right) \partial_\mu \xi \partial^\mu \xi$$

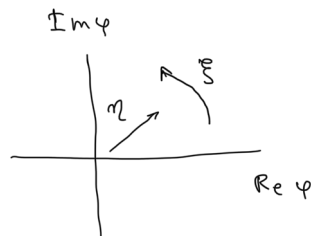
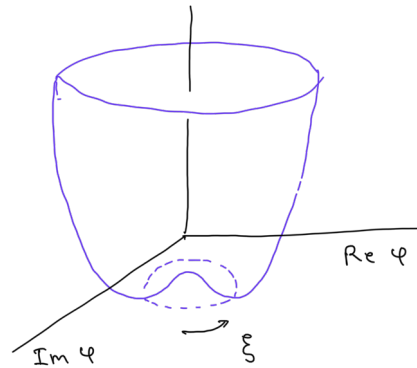
$\eta$  masivo  $m_\eta = \sqrt{2}\mu$ ,  $\xi$  bosón de Goldstone  $m_\xi = 0$   
acoplos con  $\partial_\mu$

$$\varphi = \frac{1}{\sqrt{2}} (\phi_1 + i\phi_2)$$

$$\varphi^* \varphi = \frac{1}{2} (\phi_1^2 + \phi_2^2)$$

ejemplo  $O(2)$

$U(1) \simeq SO(2)$



$m$  masivo : dirección radial

$V$  varía, cuesta energía cambiar  $m$

$\xi$  masanula : dirección circular

$V$  no varía, no cuesta energía cambiar  $\xi$

## TRANSFORMACIONES DE SIMETRIA LOCALES

$$\mathcal{L} = \partial_\mu \varphi^* \partial^\mu \varphi + \mu^2 \varphi^* \varphi - \lambda (\varphi^* \varphi)^2$$

Simetría  $U(1)$ :  $\varphi' = e^{i\alpha} \varphi \Rightarrow \mathcal{L}' = \mathcal{L}$ ,  $\mu^2 > 0 \Rightarrow$  ruptura espontánea  
 global  $\alpha$  constante

Si  $\alpha = g X(x) \neq$  constante,  $\mathcal{L}' \neq \mathcal{L}$

$$\partial_\mu \varphi' = \partial_\mu (e^{igX} \varphi) = e^{igX} (\partial_\mu \varphi + ig \partial_\mu X \varphi) \neq e^{igX} \partial_\mu \varphi$$

Es necesario introducir un campo de calibre (gauge)  $B_\mu(x)$

y reemplazar  $\partial_\mu$  por  $D_\mu = \partial_\mu + ig B_\mu$  derivada covariante  
 $g$ : constante de acople

$$\text{EM: } g = e, \text{ campo de calibre } A_\mu$$

$$D_\mu \varphi = \partial_\mu \varphi + ig B_\mu \varphi$$

$$\begin{aligned} (D_\mu \varphi)' &= \partial_\mu \varphi' + ig B'_\mu \varphi' = \partial_\mu (e^{igX} \varphi) + ig B'_\mu (e^{igX} \varphi) \\ &= e^{igX} (\partial_\mu \varphi + ig \partial_\mu X \varphi + ig B'_\mu \varphi) \end{aligned}$$

$$\text{se impone } (D_\mu \varphi)' = e^{igX} D_\mu \varphi \Rightarrow \partial_\mu X + B'_\mu = B_\mu$$

$$\boxed{B'_\mu = B_\mu - \partial_\mu X}$$

transformación de calibre del campo de calibre

$$\text{EM} \quad \vec{B} = \vec{\nabla} \times \vec{A}$$

$$\vec{E} = -\partial_0 \vec{A} - \vec{\nabla} A^0$$

$$\vec{A}' = \vec{A} + \vec{\nabla} X$$

$$A'^0 = A^0 - \partial_0 X$$

$$A'^\mu = A^\mu - \partial^\mu X$$

$$\begin{aligned} \vec{B}' &= \vec{B} \\ \vec{E}' &= \vec{E} \end{aligned}$$

## Lagrangiano para el campo de calibre

se quiere  $\mathcal{L}_B$  invariante, i.e  $\mathcal{L}'_B = \mathcal{L}_B$ ,  $B'_\mu = B_\mu - \partial_\mu \chi$

$$\mathcal{L}_B = -\frac{1}{4} F_{\mu\nu} F^{\mu\nu}, \quad F_{\mu\nu} = \partial_\mu B_\nu - \partial_\nu B_\mu \quad \text{tensor de campo}$$

$\cancel{\frac{1}{2}(\partial_\mu B^\mu)^2}$

$$F'_{\mu\nu} = F_{\mu\nu} \quad \Leftarrow \quad \partial_\mu \partial_\nu \chi = \partial_\nu \partial_\mu \chi$$

recordar:  $\mathcal{L}_{EM} = -\frac{1}{4} F_{\mu\nu} F^{\mu\nu}$ ,  $F_{\mu\nu} = \partial_\mu A_\nu - \partial_\nu A_\mu$

notar que un término de masa  $\frac{1}{2} m_B^2 B_\mu B^\mu$  no es invariante de calibre

$\mathcal{L}_B = -\frac{1}{4} F_{\mu\nu} F^{\mu\nu}$  describe un campo vectorial  $B_\mu$  (espin 1)  
de masa nula con dos grados de libertad  
(dos polarizaciones)

Es posible

$$\mathcal{L} = -\frac{1}{4} F_{\mu\nu} F^{\mu\nu} + \frac{\lambda}{2} m_B^2 B_\mu B^\mu$$

Pero no hay invariancia de calibre

$\mathcal{L}$  describe un campo vectorial  $B_\mu$  (espin 1)  
masivo con 3 grados de libertad  
 (tres polarizaciones)

## Ruptura espontánea de simetrías locales - Mecanismo Higgs

$$\mathcal{L} = -\frac{1}{4} F_{\mu\nu} F^{\mu\nu} + D_\mu \varphi (D^\mu \varphi)^* + \mu^2 \varphi^* \varphi - \lambda (\varphi^* \varphi)^2$$

Próximamente ...



<http://laconga.redclara.net>



[contacto@laconga.redclara.net](mailto:contacto@laconga.redclara.net)



lacongaphysics



Latin American alliance for  
Capacity buildiNG in Advanced physics

LA-CoNGA physics



Cofinanciado por el  
programa Erasmus+  
de la Unión Europea

El apoyo de la Comisión Europea para la producción de esta publicación no constituye una aprobación del contenido, el cual refleja únicamente las opiniones de los autores, y la Comisión no se hace responsable del uso que pueda hacerse de la información contenida en la misma.